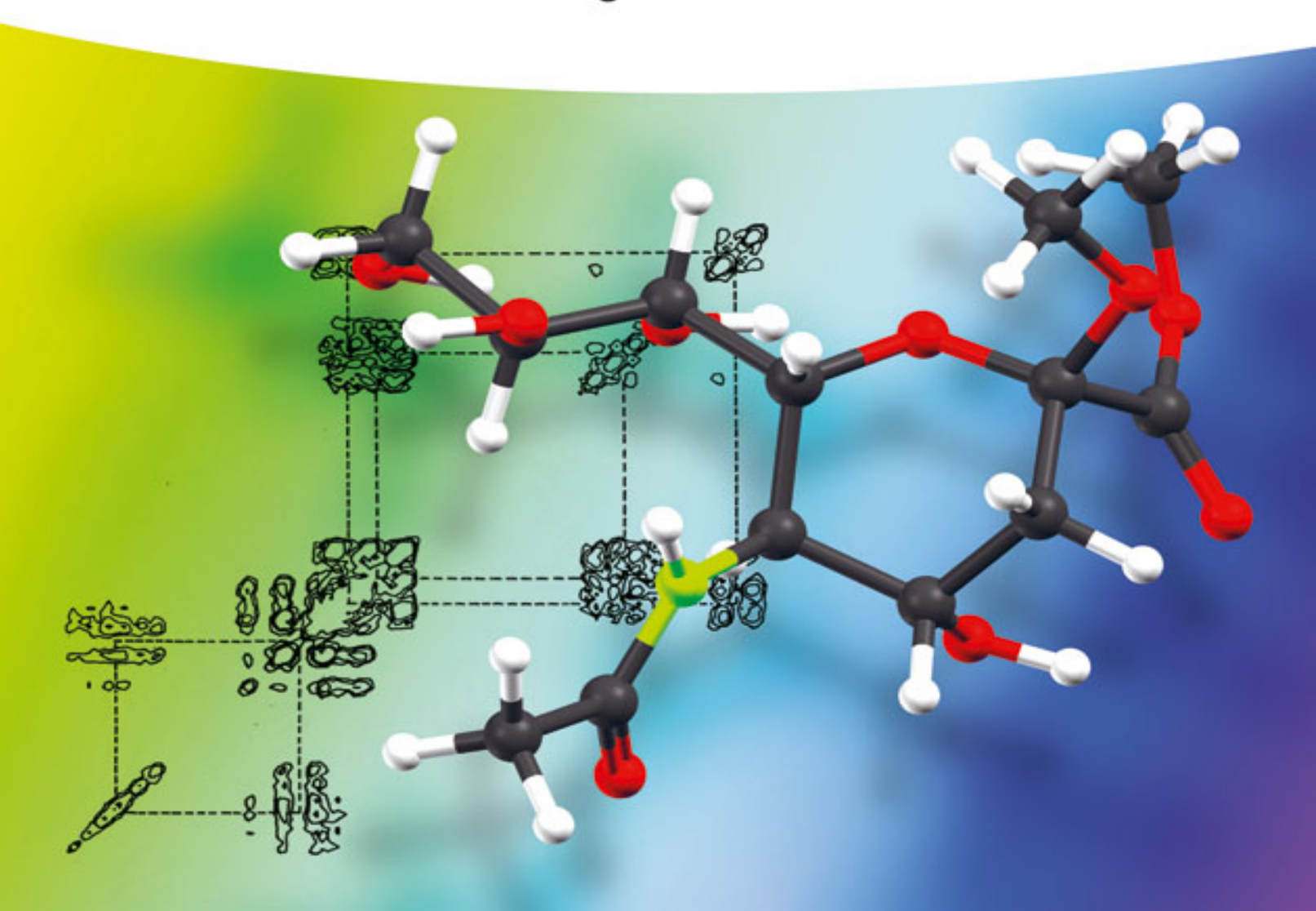


Horst Friebolin

Ein- und zweidimensionale NMR-Spektroskopie

Eine Einführung

Fünfte, vollständig überarbeitete und aktualisierte Auflage



Inhaltsverzeichnis

Vorwort zur 5. deutschen Auflage

Vorwort zur 1. Auflage

Abkürzungen und Akronyme

<u>Symbole</u>

1 Physikalische Grundlagen der NMR-Spektroskopie

- 1.1 Einführung
- 1.2 Kerndrehimpuls und magnetisches Moment
- 1.3 Kerne im statischen Magnetfeld
- 1.4 Grundlagen des Kernresonanz-Experimentes
- 1.5 Impuls-Verfahren
- 1.6 Spektrale Parameter im Überblick
- 1.7 "Andere" Kerne [5,6]
- 1.8 Aufgaben
- 1.9 Literatur zu Kapitel 1

2 Chemische Verschiebung

- 2.1 Einführung
- 2.2 ¹H-chemische Verschiebungen organischer Verbindungen
- 2.3 13 C-Chemische Verschiebungen organischer Verbindungen

- 2.4 Spektrum und Molekülstruktur
- 2.5 Chemische Verschiebung "anderer" Kerne
- 2.6 Aufgaben
- 2.7 Literatur zu Kapitel 2

3 Indirekte Spin-Spin-Kopplung

- 3.1 Einführung
- 3.2 H,H-Kopplungskonstanten und chemische Struktur
- 3.3 C,H-Kopplungskonstanten und chemische Struktur
- 3.4 C,C-Kopplungskonstanten und chemische Struktur
- 3.5 Korrelation von C,H- und H,H-

<u>Kopplungskonstanten</u>

- 3.6 Kopplungsmechanismen
- 3.7 Kopplung "anderer" Kerne; Heterokopplungen
- 3.8 Aufgaben
- 3.9 Literatur zu Kapitel 3

4 Analyse und Berechnung von Spektren

- 4.1 Einführung [1, 2]
- 4.2 Nomenklatur
- 4.3 Zweispinsysteme
- 4.4 Dreispinsysteme
- 4.5 Vierspinsysteme
- 4.6 Spektren-Simulation und Spektren-Iteration [4]
- 4.7 Analyse von ¹³C-NMR-Spektren

- 4.8 Aufgaben
- 4.9 Literatur zu Kapitel 4

5 Doppelresonanz-Experimente

- 5.1 Einführung
- 5.2 Spin-Entkopplung in der ¹H-NMR-
- <u>Spektroskopie</u>
- 5.3 Spin-Entkopplung in der ¹³C-NMR-
- <u>Spektroskopie</u>
- 5.4 Aufgaben
- 5.5 Literatur zu Kapitel 5

6 Zuordnung der ¹H- und ¹³C-NMR-Signale

- 6.1 Einführung
- 6.2 ¹H-NMR-Spektroskopie
- 6.3 13 C-NMR-Spektroskopie
- 6.4 Rechnerunterstützte Spektrenzuordnung in
- der ¹H- und ¹³C-NMR-Spektroskopie
- 6.5 Aufgaben
- 6.6 Literatur zu Kapitel 6

7 Relaxation

- 7.1 Einführung
- 7.2 Spin-Gitter-Relaxation der 13 C-Kerne (T1)
- 7.3 Spin-Spin-Relaxation (T₂)
- 7.4 Aufgaben
- 7.5 Literatur zu Kapitel 7

8 Eindimensionale NMR-Experimente mit komplexen Impulsfolgen

- 8.1 Einführung [1]
- 8.2 Grundlegende Experimente mit Impulsen und gepulsten Feldgradienten
- 8.3 J-moduliertes Spin-Echo-Experiment
- 8.4 Spin-Echo-Experiment mit gepulsten Feldgradienten
- 8.5 Intensitätsgewinn durch Polarisationstransfer
- 8.6 DEPT-Experiment [12, 13]
- 8.7 Selektives TOCSY-Experiment [14-16]
- 8.8 Eindimensionales INADEQUATE-Experiment [17]
- 8.9 Aufgaben
- 8.10 Literatur zu Kapitel 8

9 Zweidimensionale NMR-Spektroskopie

- 9.1 Einführung
- 9.2 Zweidimensionales NMR-Experiment
- 9.3 Zweidimensionale J-aufgelöste NMR-
- **Spektroskopie**
- 9.4 Zweidimensionale korrelierte NMR-
- <u>Spektroskopie</u>
- 9.5 Zweidimensionales INADEQUATE-Experiment [21–23]
- 9.6 Zusammenfassung der Kapitel 8 und 9
- 9.7 Aufgaben
- 9.8 Literatur zu Kapitel 9

10 Kern-Overhauser-Effekt

- 10.1 Einführung
- 10.2 Theoretische Grundlagen
- 10.3 Experimentelle Aspekte
- 10.4 Anwendungen
- 10.5 Aufgaben
- 10.6 Literatur zu Kapitel 10

11 Dynamische NMR-Spektroskopie (DNMR)

- 11.1 Einführung [1-3]
- 11.2 Quantitative Auswertung
- 11.3 Anwendungen
- 11.4 Aufgaben
- 11.5 Literatur zu Kapitel 11

12 Synthetische Polymere

- 12.1 Einführung
- 12.2 Taktizität von Polymeren
- 12.3 Polymerisation von Dienen
- 12.4 Copolymere
- 12.5 Festkörper NMR an Polymeren
- 12.6 Aufgaben
- 12.7 Literatur zu Kapitel 12

13 NMR-Spektroskopie und Biochemie

- 13.1 Einführung
- 13.2 Aufklärung von Reaktionswegen in der Biochemie

13.3	<u>Biomakr</u>	<u>omole</u>	<u>küle</u>
	- u		

13.4 Sättigungs-Transfer-Differenz-NMR (STD)

(Saturation-Transfer-Difference NMR)

- 13.5 Aufgaben
- 13.6 Literatur zu Kapitel 13

14 In vivo-NMR-Spektroskopie in Biochemie und Medizin

- 14.1 Einführung
- 14.2 Hochauflösende in vivo-NMR-Spektroskopie
- 14.3 Magnetische Resonanz-Tomographie
- 14.4 Magnetische Resonanz-Spektroskopie, ¹H-MRS
- 14.5 Aufgaben
- 14.6 Literatur zu Kapitel 14

Lösungsvorschläge

Sachregister

<u>Substanzregister</u>

Beachten Sie bitte auch weitere interessante Titel zu diesem Thema

Günther, Harald

NMR Spectroscopy

Basic Principles, Concepts and Applications in Chemistry

3. Auflage

2013

ISBN: 978-3-527-33004-1

Pregosin, Paul S.

NMR in Organometallic Chemistry

2012

ISBN: 978-3-527-33013-3

Berger, Stefan, Braun, Siegmar

200 and More NMR Experiments
A Practical Course

2004

ISBN: 978-3-527-31067-8

Berger, S., Sicker, D.

Classics in Spectroscopy Isolation and Structure Elucidation of Natural Products

2009

ISBN: 978-3-527-32516-0

Jacobsen, Neil E.

NMR Spectroscopy Explained Simplified Theory, Applications and Examples for Organic Chemistry and Structural Biology 2007

ISBN: 978-0-471-73096-5

Zerbe, O., Jurt, S.

Applied NMR Spectroscopy for Chemists and Life Scientists

ISBN: 978-3-527-32774-4

Levitt, M. H.

Spin Dynamics Basics of Nuclear Magnetic Resonance

2008

ISBN: 978-0-470-51118-3

Breitmaier, E.

Vom NMR-Spektrum zur Strukturformel organischer Verbindungen

2005

ISBN: 978-3-527-31499-7

Horst Friebolin Unter Mitarbeit von Frau Christina M. Thiele

Ein- und zweidimensionale NMR-Spektroskopie

Eine Einführung

5., vollständig überarbeitete und aktualisierte Auflage



WILEY-VCH Verlag GmbH & Co. KGaA

Autor

Prof. Dr. Horst Friebolin

Organisch-Chemisches Institut der Universität Im Neuenheimer Feld 270 D-69120 Heidelberg unter Mitarbeit von:

Prof. Dr. Christina M. Thiele

T.U. Darmstadt Petersenstr. 22 D-64287 Darmstadt

5. vollst. überarb. u. erw. Auflage 2013

Alle Bücher von Wiley-VCH werden sorgfältig erarbeitet. Dennoch übernehmen Autoren, Herausgeber und Verlag in keinem Fall, einschließlich des vorliegenden Werkes, für die Richtigkeit von Angaben, Hinweisen und Ratschlägen sowie für eventuelle Druckfehler irgendeine Haftung.

Bibliografische Information der Deutschen Nationalbibliothek

Die Deutsche Nationalbibliothek verzeichnet diese Publikation in der Deutschen Nationalbibliografie; detaillierte bibliografische Daten sind im Internet über http://dnb.d-nb.de abrufbar.

© 2013 Wiley-VCH Verlag GmbH & Co. KGaA, Boschstr. 12, 69469 Weinheim, Germany

Alle Rechte, insbesondere die der Übersetzung in andere Sprachen, vorbehalten. Kein Teil dieses Buches darf ohne schriftliche Genehmigung des Verlages in irgendeiner Form – durch Photokopie, Mikroverfilmung oder irgendein anderes Verfahren – reproduziert oder in eine von Maschinen, insbesondere von Datenverarbeitungsmaschinen, verwendbare Sprache übertragen oder übersetzt werden. Die Wiedergabe von Warenbezeichnungen, Handelsnamen oder sonstigen Kennzeichen in diesem Buch berechtigt nicht zu der Annahme, dass diese von jedermann frei benutzt werden dürfen. Vielmehr kann es sich auch dann um eingetragene Warenzeichen oder sonstige gesetzlich geschützte Kennzeichen handeln, wenn sie nicht eigens als solche markiert sind.

Satz Hagedorn Kommunikation GmbH, Viernheim

Druck und Bindung betz-druck GmbH, Darmstadt

Umschlaggestaltung Bluesea Design, McLeese Lake,
Canada

Print ISBN: 978-3-527-33492-6

Vorwort zur 5. deutschen Auflage

Das vorliegende Buch ist eine Einführung in die Grundlagen und Anwendungen der NMR-Spektroskopie. Die neuesten Forschungsergebnisse, die Fortschritte auf Gerätesektor sowie der Automation bei der Spektrenaufnahme und der Spektrenauswertung werden nur insofern berücksichtigt, als sie der Intention des Buches entsprechen. Daher sind in vielen Kapiteln nur kleinere Korrekturen vorgenommen worden. Im Einzelnen möchte ich erwähnen: In Tabelle 6-8 in Abschnitt 6.4.2 wurden die mit den Programmen SpecInfo und CSEARCH berechneten Verschiebungswerte den gemessenen und den mit ACD abgeschätzten Werten gegenübergestellt. In Kapitel 8 wurde ein Abschnitt (8.2.3) über die Grundlagen des "Spin Locking" eingefügt, das bei vielen Verfahren verwendet wird. Kapitel 10, "Kern-Overhauser-Effekt", ergänzte ich durch den transfer NOE (trNOE), einer Technik, die bei Untersuchungen von biologischen Systemen eine Rolle spielt. Abschnitt 12.5 über die Technik der Festkörper-NMR erweiterte ich um eine Besprechung der Grundzüge des Verfahrens der Cross Polarization (CP). In Abschnitt 13.4 wegen der grundlegenden habe ich Bedeutuna Untersuchungen der Wechselwirkungen zwischen Liganden und Makromolekülen (z.B. Ligand-Enzym-Wechselwirkungen) sowie deren Dynamik das Prinzip der Sättigungs-Transfer-Differenz-Spektroskopie (STD) behandelt.

Die wichtigsten Ergänzungen der fünften gegenüber der vierten Auflage sind jedoch die Aufgaben am Ende eines jeden Kapitels; die Lösungsvorschläge folgen im Anschluss an Kapitel 14.

Zum Schluss möchte ich allen danken, die zum Gelingen der neuen Auflage beigetragen haben. Erwähnen möchte ich besonders die Herren Dr. Jürgen Graf, Org.-Chem. Institut der Univ. Heidelberg und Dr. Volker Friebolin, Org.-Chem. Institut der Univ. Tübingen, die die Übungsaufgaben und deren Lösungsvorschläge kritisch gelesen haben sowie V. F., der mich beim Abfassen der Abschnitte über den trNOE und die STD-Spektroskopie tatkräftig unterstützte. Mein besonderer Dank gilt auch wieder Herrn Dr. Jack Becconsall, der viele der hier verwendeten ergänzenden Texte im Rahmen der Vorbereitung zur 5. englischen Auflage kritisch kommentierte, so dass ich dadurch für die deutsche Neuauflage profitierte.

Den Mitarbeitern des Verlags Wiley-VCH, Weinheim, danke ich für die sehr gute Zusammenarbeit.

Heidelberg, im Dezember 2012

Horst Friebolin

Die Nachtigall und die Lerche.

Was soll man zu den Dichtern sagen, die so gern ihren Flug weit über alle Fassung des größten Teiles ihrer Leser nehmen? Was sonst, als was die Nachtigall zu der Lerche sagte: Schwingst du dich, Freundin, nur darum so hoch, um nicht gehört zu werden?

Gotthold Ephraim Lessing

Vorwort zur 1. Auflage

Dieses Buch ist weder eine überarbeitete noch eine erweiterte Auflage des 1974 von mir herausgegebenen Taschenbuches "NMR-Spektroskopie – Eine Einführung mit Übungsbeispielen"; vielmehr zwangen mich die Entwicklungen bei den Impulsverfahren, der ¹³C-NMR-Spektroskopie und besonders der zweidimensionalen NMR-Spektroskopie, ein neues Buch zu schreiben. Gleich blieb das Ziel, die physikalischen Grundlagen, die Meßverfahren, die Bedeutung der spektralen Parameter sowie die Analyse und Interpretation von NMR-Spektren möglichst einfach darzustellen. Daher sind die theoretischen Ableitungen auf ein beschränkt. exakten Minimum von den quantenmechanischen Berechnungen werden meistens nur die Ergebnisse angegeben und verwendet.

Für den Anfänger sind vor allem die ersten sechs Kapitel geschrieben. In den Kapiteln 8 und 9 werden die Grundlagen sowie Anwendungsmöglichkeiten der augenblicklich wichtigsten ein- und zweidimensionalen Experimente, die sich hinter Kürzeln wie DEPT, COSY, Relayed H,H- und C,H-COSY, INADEQUATE verbergen, vorgestellt, wobei Auswahl und Darstellung auf meinen in Vorlesungen, Seminaren und Übungen gewonnenen Erfahrungen beruhen. Für diesen Teil setze ich die Kenntnis des Inhalts der Kapitel 1 und 7

voraus, insbesondere muß das Prinzip des Impuls- und Spin-Echo-Experimentes verstanden sein.

Diese neuen Verfahren in nur zwei Kapiteln darzustellen, gelingt nicht ohne Weglassen und Vereinfachen, auch nicht ohne radikalen zeitlichen Schnitt. Um die ohnehin schon schwer verdauliche Kost für den Anfänger nicht noch unverdaulicher zu machen, habe ich mich bei den 2D-Verfahren auf die Amplitudenmodulation der Signale und bei der Darstellung auf die Absolutbeträge beschränkt. Dies ist vor allem im Hinblick auf die Verfahren eine wesentliche Vereinfachung, die gerade die unterschiedlichen Phasenbeziehungen ausnützen. Ich halte dieses Vorgehen jedoch in einer "Einführung" für vertretbar.

Die nächsten vier Kapitel befassen sich mit speziellen Methoden und Anwendungsmöglichkeiten. Die Auswahl – NOE, DNMR, Verschiebungsreagenzien, synthetische Polymere – ist subjektiv.

Das letzte Kapitel befaßt sich mit Anwendungen in der Biochemie und Medizin, mit der *in vivo*-NMR-Spektroskopie und der Magnetischen Resonanz(MR)-Tomographie. Den Lesern, die sich hauptsächlich für diesen Teil interessieren, beispielsweise Biologen und Mediziner, empfehle ich, zumindest die Grundlagen des Experiments (Kap. 1) und der Relaxation (Kap. 7) durchzuarbeiten.

Viele Probleme werden in dieser Einführung nur angedeutet, doch führen Literaturangaben am Ende der Kapitel die Leser weiter. Insgesamt sind diese Hinweise auf die wichtigsten beschränkt und im allgemeinen auf solche, die Studenten zugänglich sind.

Für viele Substanzen habe ich bewußt ihre Trivialnamen verwendet, beispielsweise Acetylen, Ethylen; die systematischen Namen sind jedoch im Substanzregister angegeben.

Mit wenigen Ausnahmen beschränkt sich das Buch auf die $^1\mathrm{H-}$ und $^{13}\mathrm{C-NMR-Spektroskopie},$ weil die überwiegende

Zahl der Leser nur mit Spektren dieser beiden Kerne in Berührung kommen wird. Zudem sollte das Einarbeiten in die NMR- Spektroskopie anderer Kerne nach der Lektüre der Grundlagen nicht schwerfallen.

Im Gegensatz zum alten Buch habe ich auf getrennte Übungen verzichtet, dafür werden zahlreiche Beispiele ausführlich im Text erläutert.

Dank

Bei meiner Arbeit für dieses Buch war ich auf die tatkräftige Hilfe vieler angewiesen. An erster Stelle will ich drei Namen meinen ehemaligen Mitarbeiter Dr. Wolfgang Baumann, Dr. Wolfgang Bermel (Bruker) und Doris Lang. Wolfgang Baumann hat u. a. alle abgebildeten 250- und 300 aufgenommen MHz-NMR-Spektren und abbildungsgerechte Form gebracht; Wolfgang Bermel hat sein ganzes Können bei der Aufnahme der ein- und zweidimensionalen 400 MHz-NMR-Spektren (Kap. 8 und 9) eingebracht. Beiden danke ich außerdem für die kritische Durchsicht von Teilen des Manuskriptes. Doris Lang hat unermüdlich die vielen Abbildungen, Skizzen und Formeln gezeichnet, korrigiert, beschriftet und zusammengestellt eine Arbeit, die nur ein Eingeweihter richtig schätzen kann.

Ich danke Dieter Ratzel (Bruker) für die Aufnahmen der MR-Tomogramme (Abbildungen 11, 13 und 14 in Kapitel 14) sowie für viele zusätzliche Informationen. Der Firma Bruker, vor allem Tony Keller, habe ich für vielfältige Unterstützung zu danken, die von umfangreichen und zeitaufwendigen Messungen, über Bildmaterial bis hin zur Textverarbeitung reichte.

Ich danke weiterhin: Dr. Wolfgang Bremser (BASF) für die Spektrenabschätzung der Modellverbindung die und kritische Durchsicht des Abschnitts über die Spektrenzuordnung; rechnerunterstützte Dr. Hans-I. Opferkuch (DKFZ HD) für die Aufnahme der 2D-NMR-

Spektren von Glutaminsäure (Abbildung 9-19 und 24); Brigitte Faul und Wilfried Haseloff für die Aufnahme von 90 MHz-¹H-NMR-Tieftemperaturspektren; Dr. Peter Bischof für die graphische Darstellung der Modellverbindung auf dem Titelblatt; Prof. Reinhard Brossmer für die Überlassung des Neuraminsäurederivats als Testsubstanz: Prof. Weinges für die Korrektur von Abschnitt 2.4; Prof. Dieter Hellwinkel für die Klärung strittiger Nomenklaturfragen. Meinen Mitarbeitern bin ich für ihre aufbauende Kritik und ihre Anregungen sehr zu Dank verpflichtet. Dr. Gerhard Weißhaar und Doris Lang danke ich zudem für die kritische Durchsicht der Korrekturfahnen. Bei der Reinschrift des ersten Manuskriptes haben Brigitte Rüger und Irmgard Pichler dankenswerter Weise geholfen.

Bei der VCH Verlagsgesellschaft sei vor allem Dr. Eva E. Wille genannt, sie hat mein Manuskript nicht nur für den Druck vorbereitet, sie hat als fachkundige Lektorin den Text kritisch durchgearbeitet. Ihr und Myriam Nothacker, die aus dem Manuskript ein Buch machte, bin ich sehr zu Dank verpflichtet.

Ein spezielles Anliegen ist es mir, Pfarrer Franz Alferi von der katholischen Kirchengemeinde St. Nikolaus in Mannheim zu danken, der mir für meine Arbeit einen Raum in absoluter Abgeschiedenheit zur Verfügung stellte.

Ganz zum Schluß gilt mein Dank meiner Frau und der gesamten Familie, die alle in den vergangenen Jahren wegen dieses Buches vieles "erleiden" und auf so manches verzichten mußten.

Heidelberg, im April 1988

Horst Friebolin

Abkürzungen und Akronyme

ADP Adenosindiphosphat
APT Attached Proton Test
ATP Adenosintriphosphat

CLA Complete line-shape analysis (vollständige Linienformanalyse)

COSY Correlated Spectroscopy

CP Cross Polarization

CSA Chiral shift agent (Verschiebungsreagenz) oder Chemical shift

Anisotropie

CW **C**ontinuous **w**ave zweidimensional

DD **D**ipol**-d**ipol

DEPT Distortionless enhancement by polarization transfer

DMSO **Dim**ethyl**s**ulf**o**xide
DNMR **D**ynamische **NMR**

DPM **Dip**ivaloyl**m**ethan, (2,2,6,6-Tetramethyl-heptandione)

DTPA **D**iethylene-**t**riamine-**p**entaacetic-**a**cid

EXSY Exchange Spectroscopy
FID Free induction decay

FOD Hepta**f**luor-7,7-dimethyl-4,6**-o**ctan**d**ion

FT Fourier Transformation

gs Gradient selected

HETCOR **Het**eronuclear **cor**relation

HMBC Heteronuclear multiple bond correlation
HMQC Heteronuclear multiple quantum coherence
HSQC Heteronuclear single quantum coherence

INADEQUATE Incredible ${f n}$ atural ${f a}$ bundance ${f d}$ ouble ${f qua}$ ntum ${f t}$ ransf ${f e}$ r

INEPT Insensitive **n**uclei **e**nhanced by **p**olarization **t**ransfer

Lm Lösungsmittel

LSR Lanthanoiden Shift Reagenz
M Multiplizität von Signalen
MAS Magic Angle Spinning

MO Molecular orbital

MR **M**agnetische **R**esonanz(-Tomographie)

MRI Magnetic resonance imaging
NMR Nuclear Magnetic Resonance

NOE **N**uclear **O**verhauser **E**ffekt (enhancement)

NOESY **N**uclear **O**verhauser **e**nhancement **s**pectroscop**y**

NS **N**umber of **S**cans (Zahl der Durchgänge)

PCr Kreatinphosphat

Pfg Pulsed field gradient
Pi Anorganisches Phosphat

PMMA **P**oly**m**ethyl**m**eth**a**crylat

ppm Parts per million

PRESS **P**oint **R**esolved **S**pectro**s**copy

RDC Residual Dipolar Couplings

ROESY Rotating frame Overhauser Enhancement Spectroscopy

S:N **S**ignal-to**-n**oise ratio (Verhältnis von Signal- zu Rauschamplitude)

SPI **S**elective **p**opulation **i**nversion

STD Sättigungs-Transfer-Differenz-NMR

TMS **T**etra**m**ethyl**s**ilan

TOCSY Total correlation spectroscopy

trNOE Transfer NOE

TROSY Transverse Relaxation Optimized Spectroscopy

Symbole

B() statisches Magnetfeld beim NMR-Experiment Hochfrequenzfelder bei den Frequenzen v_1 und v_2 **B**1, **B**2 effektiv am Kernort wirkendes Feld **B**eff Halbwertsbreite $b_{1/2}$ C_2 zweizählige Symmetrieachse magnetische Suszeptibilität ¹³C-Resonanzen werden beobachtet, die Protonen entkoppelt δ chemische Verschiebung, bezogen auf einen Standard (z. B. TMS) Ε Energie ΔΕ Energieunterschied zwischen zwei Niveaus δΕ Unschärfe eines Energiezustandes Arrhenius-Aktivierungsenergie E_{Δ} Elektronegativität des Substituenten X E_{X} Verstärkungsfaktor beim NOE-Experiment $1+\eta$ Phasendifferenz zwischen zwei Vektoren φ, Θ Φ Bindungswinkel, Torsionswinkel Frequenzachsen im 2D-NMR-Spektrum F_1, F_2 G Feldgradient ∆G[‡] freie Aktivierungsenthalpie magnetogyrisches Verhältnis; $\psi = \gamma/2\pi$ γ Plancksches Wirkungsquantum; $\hbar = h/2\pi$ h Δh^{\ddagger} Aktivierungsenthalpie Drehimpuls- oder Kernspin-Quantenzahl Kernspin-Operator 1 n_I Kopplungskonstante über *n* Bindungen Zahl der Datenpunkte, der Speicherplätze $1K = 2^{10} = 1024$ 1K Κ Gleichgewichtskonstante \varkappa Stoffmengenanteil (Molenbruch) Geschwindigkeitskonstante k

<i>k</i> C	Geschwindigkeitskonstante bei der Koaleszenztemperatur $T_{\mathbb{C}}$
k_{B}	Boltzmann-Konstante
<i>k</i> ₀	Frequenzfaktor
μ	magnetisches Moment
μ_Z	Komponente des magnetischen Momentes μ in Feldrichtung z
m	magnetische Quantenzahl
M_O	makroskopische Magnetisierung im Magnetfeld $m{\textit{B}}_0$
$M_{X'}, M_{Y'}$	transversale Magnetisierung in X - und Y -Richtung
M_Z	longitudinale Magnetisierung in z- oder Feldrichtung
M_{χ}	Magnetisierung für die Kerne X
$M_{\rm H}^{\rm C_{\alpha}}, M_{\rm H}^{\rm C_{\beta}}$	1 H-Magnetisierungsvektoren in einem Zweispinsystem mit den 13 C-Kernen im α bzw. β -Zustand
$oldsymbol{M}_{ ext{C}}^{ ext{H}_{lpha}}$, $oldsymbol{M}_{ ext{C}}^{ ext{H}_{eta}}$	13 C-Magnetisierungsvektoren in einem Zweispinsystem mit den Protonen im α - bzw. β -Zustand
N	Gesamtzahl der Kerne
$N_{\alpha}, N_{\beta}, N_{i}$	Zahl der Kerne im $lpha$ bzw. eta -Zustand, im Niveau i
V	Frequenz
v_{L}	Larmor-Frequenz
v_{i}	Resonanzfrequenz des Kernes i
v_1	Generatorfrequenz
v_2	Entkopplerfrequenz
P	Kern- oder Eigendrehimpuls
P_Z	Komponenten von P in z-Richtung
Q	elektrisches Quadrupolmoment
R	allgemeine Gaskonstante
r	Atomabstand
σ	Abschirmungskonstante
Si	Substituenteninkremente zur Abschätzung chemischer Verschiebungen
<i>∆S</i> [‡]	Aktivierungsentropie
τ	Zeit zwischen zwei Impulsen; Impulsintervall
$ au_{C}$	Korrelationszeit

 τ_1 Lebensdauer eines Kernes in einem Spinzustand bzw. in einer bestimmten magnetischen Umgebung Impulslänge τ_{P} Zeit, bei der M_Z nach einem 180°-Impuls gerade Null ist ^Tnull Variable Zeit bei 2D-Experimenten; wird im allgemeinen inkrementiert t_1 Zeit der Datenaufnahme, Detektionszeit in 2D-Experimenten *t*2 Δ feste Zeitintervalle bei 2D-Impulsfolgen Т Tesla Τ absolute Temperatur in K Spin-Gitter- oder longitudinale Relaxationszeit T_1 Spin-Spin- oder transversale Relaxationszeit T_2 *T*₂* gemessene transversale Relaxationszeit Θ **Impulswinkel** W_0 , W_1 , Übergangswahrscheinlichkeiten für Null-, Ein- und Zweiquantenübergänge durch Relaxation W_2

Physikalische Grundlagen der NMR-Spektroskopie

1.1 Einführung

1946 gelang den beiden Arbeitsgruppen F. Bloch, W.W. Hansen und M. E. Packard sowie E. M. Purcell, H. C. Torrey und R.V. Pound unabhängig voneinander der erste Nachweis von Kernresonanz-Signalen. Für die Entdeckung wurden Bloch und Purcell 1952 gemeinsam mit dem Nobelpreis für Physik ausgezeichnet. Seither entwickelte sich die NMR-Spektroskopie (Nuclear Magnetic Resonance) zu einem für Chemiker, Biochemiker, Biologen, Physiker und neuerdings auch für Mediziner unentbehrlichen Werkzeug. In den ersten drei Jahrzehnten waren alle Messverfahren eindimensional, das heißt, die Spektren haben eine Frequenzachse, in der zweiten werden Signalintensitäten aufgetragen. In den 70er-Jahren begann mit dann der Entwicklung zweidimensionalen NMR-Experimente eineneue Epoche in der NMR-Spektroskopie. Spektren, die nach diesen Verfahren aufgenommen werden, haben zwei Frequenzachsen; die Intensitäten sind in der dritten Dimension aufgetragen. Inzwischen sind drei- und mehrdimensionale Experimente möglich, doch gehören diese Techniken im Augenblick noch nicht zu den Routinemethoden. Welche Bedeutung der NMR-Spektroskopie in der Chemie beigemessen wird, zeigt die Tatsache, dass die Nobelpreise für Chemie 1991 an R. R. Ernst und 2002 an K. Wüthrich sowie 2003 für Medizin an P. Lauterbur mit P. Mansfield für ihre zusammen

bahnbrechenden Untersuchungen über NMR Methoden in Chemie, Biochemie und Medizin verliehen wurden. Wie gerade die in den letzten Jahren entwickelten neuen Messmethoden beweisen, ist die Entwicklung der NMR-Spektroskopie noch längst nicht abgeschlossen.

Dieses Buch will eine Antwort darauf geben, weshalb die NMR-Spektroskopie speziell für den Chemiker zur (vielleicht) wichtigsten spektroskopischen Methode wurde.

Hauptanwendungsgebiet der NMR-Spektroskopie ist die Strukturaufklärung von Molekülen. Um die entsprechenden Informationen zu gewinnen, misst, analysiert und interpretiert man hochaufgelöste NMR-Spektren, die von niederviskosen Flüssigkeiten aufgenommen wurden, in manchen Fällen auch von Festkörpern, wobei man für Festkörpermessungen andere experimentelle Techniken und (im Allgemeinen) auch andere Geräte verwendet. Wir beschränken uns jedoch im folgenden fast ausschließlich auf die sogenannte hochauflösende NMR-Spektroskopie von Flüssigkeiten.

Unser Hauptinteresse gilt vor allem Protonen (^1H) und Kohlenstoff-13-Kernen (^{13}C) , da deren Resonanzen für die Strukturaufklärung organischer Moleküle am wichtigsten sind. In den folgenden Kapiteln werden wir jedoch auch Beispielen von NMR-Spektren anderer Kerne begegnen, deren NMR-Signale heute ohne Schwierigkeiten beobachtet werden können.

Zum Verständnis der NMR-Spektroskopie müssen wir zunächst lernen, wie sich Kerne mit einem Kerndrehimpuls P und einem magnetischen Moment μ in einem statischen Magnetfeld verhalten. Im Anschluss daran werden wir das grundlegende NMR-Experiment, das Impuls-Verfahren und die spektralen Parameter diskutieren.

1.2 Kerndrehimpuls und magnetisches Moment

Die meisten Kerne haben einen Kern- oder Eigendrehimpuls **P.** In der klassischen Vorstellungsweise rotiert der kugelförmig angenommene Atomkern um eine Kernachse. Quantenmechanische Rechnungen zeigen, dass dieser Drehimpuls wie so viele atomare Größen gequantelt ist:

$$(1-1)^{P = \sqrt{I(I+1)} \hbar}$$

Hierbei ist h das Plancksche Wirkungsquantum (= 6,6256 -10^{-34} Js; $\hbar = h/2\pi$) und I die Drehimpuls- oder Kernspinquantenzahl, vereinfacht als Kernspin bezeichnet. Der Kernspin kann die Werte I = 0, 1/2, 1, 3/2, 2... bis 6 annehmen (siehe auch Tab. 1-1). Weder die Werte von I noch von I lassen sich bis jetzt theoretisch voraussagen.

Mit dem Drehimpuls P ist ein magnetisches Moment μ verknüpft. Beides sind vektorielle Größen, die einander proportional sind:

<u>Tabelle 1-1.</u> Eigenschaften von Kernen, die für die NMR-Spektroskopie wichtig sind.

Kern- Isotop	Spin I	natürliche Häufigkeit ^{a)} [%]	Magne- tisches Moment ^{b)} μ_z/μ_N	Elektrisches Quadrupol- moment ^{a)} Q [10 ⁻³⁰ m ²]	Magneto- gyrisches Verhältnis γ ^{a)} [10 ⁷ rad T ⁻¹ s ⁻¹]	NMR- Frequenz ^{aj} [MHz] (B ₀ = 2,3488 T)	Relative Empfind- lichkeit ⁹
¹H	1/2	99,9885	2,7928		26,7522	100,000	1,00
² H	1	0,0115	0,8574	0,2860	4,1066	15,3506	9,65 x 10 ⁻³
3Hd)	1/2	-	2,9790		28,5350	106,6640	1,21
⁶ Li	1	7,59	0,8220	-0,0808	3,9372	14,7161	8,50 x 10 ⁻³
¹⁰ B	3	19,9	1,8006	8,459	2,8747	10,7437	1,99 x 10 ⁻²
11B	3/2	80,1	2,6887	4,059	8,5847	32,0840	1,65 x 10 ⁻¹
12C	0	98,9	-	-	-	-	-
13C	1/2	1,07	0,7024	□	6,7283	25,1450	1,59 x 10 ⁻²
¹⁴ N	1	99,63	0,4038	2,044	1,9338	7,2263	1,01 x 10 ⁻³
15N	1/2	0,368	-0,2832	-	-2,7126	10,1368	1,04 x 10 ⁻³
16O	0	99,96	_	2	_	_	-
17O	5/2	0,038	-1,8938	-2,558	-3,6281	13,5565	2,91 x 10 ⁻²
¹⁹ F	1/2	100	2,6269	-	25,1815	94,0940	8,32 x 10 ⁻¹
²³ Na	3/2	100	2,2177	10,4	7,0809	26,4519	9,27 x 10 ⁻²
25Mg	5/2	10,00	-0,8555	19,94	-1,6389	6,1216	2,68 x 10 ⁻³
²⁹ Si	1/2	4,68	-0,5553	-	-5,3190	19,8672	7,86 x 10 ⁻³
³¹ P	1/2	100	1,1316	-	10,8394	40,4807	6,65 x 10 ⁻²
³⁹ K	3/2	93,258	0,3915	5,85	1,2501	4,6664	5,10 x 10 ⁻⁴
⁴³ Ca	7/2	0,135	-1,3176	-4,08	-1,8031	6,7301	6,43 x 10 ⁻³
⁵⁷ Fe	1/2	2,119	0,0906	-	0,8681	3,2378	3,42 x 10 ⁻⁵
⁵⁹ Co	7/2	100	4,627	42,0	6,332	23,7271	2,78 x 10 ⁻¹
¹¹⁹ Sn	1/2	8,59	-1,0473	_	-10,0317	37,2906	5,27 x 10 ⁻²
133Cs	7/2	100	2,5820	-0,343	3,5333	13,1161	4,84 x 10 ⁻²
¹⁹⁵ Pt	1/2	33,832	0,6095	_	5,8385	21,4968	1,04 x 10 ⁻²

a) Werte aus [1].

 γ , die Proportionalitätskonstante, ist für jedes Isotop der verschiedenen Elemente eine charakteristische Konstante und heißt magnetogyrisches oder gyromagnetisches Verhältnis. Von γ hängt die Nachweisempfindlichkeit eines Kernes im NMR-Experiment ab: Kerne mit großem γ werden als empfindlich, solche mit kleinem γ als unempfindlich bezeichnet.

Mit den <u>Gleichungen (1-1)</u> und <u>(1-2)</u> erhält man für das magnetische Moment μ :

 $^{^{\}rm b)}$ z-Komponente des magnetischen Kernmomentes in Einheiten des Kernmagnetons $\mu_{\rm N}.$

Werte aus dem Bruker Almanac 2012. $\mu_N = eh/4\pi m_p$, m_p : Masse des Protons = 5,05095 x 10⁻²⁷ [T⁻¹.

⁹ Die Empfindlichkeit ist bezogen auf ¹H (= 1) bei konstantem Feld und gleicher Kernzahl.

Werte aus dem Bruker Almanac 2012.

d) 3H ist radioaktiv.

$$(1-3) \quad \mu = \gamma \sqrt{I(I+1)} \, \hbar$$

Kerne mit dem Kernspin I=0 haben folglich kein magnetisches Kernmoment. Für unsere Betrachtungen ist besonders wichtig, dass das Kohlenstoff-Isotop 12 C und das Sauerstoff-Isotop 16 O zu diesen Kernen gehören – das heißt, die Hauptbausteine organischer Verbindungen sind NMR-spektroskopisch nicht nachweisbar.

Für die meisten Kerne zeigen Kerndrehimpulsvektor ${\it P}$ und magnetisches Moment μ in die gleiche Richtung, sie sind parallel. In einigen Fällen, beispielsweise bei $^{15}{\rm N}$ und $^{29}{\rm Si}$ (und auch beim Elektron!), stehen sie jedoch antiparallel. Auf die Folgen dieser Tatsache werden wir in Kapitel 10 eingehen.

1.3 Kerne im statischen Magnetfeld

1.3.1 Richtungsquantelung

Wird ein Kern mit dem Drehimpuls P und dem magnetischen Moment m in ein statisches Magnetfeld B_0 gebracht, orientiert sich der Drehimpuls im Raum so, dass seine Komponente in Feldrichtung, P_Z , ein ganz- oder halbzahliges Vielfaches von \hbar ist:

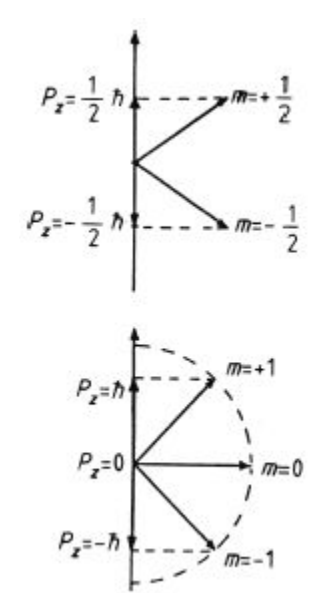
$$(1-4)^{P_z = mh}$$

m ist die magnetische Quantenzahl oder Orientierungsquantenzahl und kann folgende Werte annehmen: m = l, l-1,......-l.

Wie sich leicht abzählen lässt, gibt es (2I + 1) verschiedene m-Werte und somit entsprechend viele Einstellmöglichkeiten von Drehimpuls und magnetischem

Moment im Magnetfeld. Man bezeichnet dieses Verhalten der Kerne im Magnetfeld als *Richtungsquantelung*. Für Protonen und 13 C-Kerne mit $_{l}$ =1/2 ergeben sich zwei $_{l}$ Werte (+1/2 und -1/2); für Kerne mit $_{l}$ =1, wie bei $_{l}$ und $_{l}$ und $_{l}$ dagegen drei ($_{l}$ = + 1, 0 und -1 ($_{l}$ abb. 1-1)).

Abbildung 1-1. Richtungsquantelung des Drehimpulses P im Magnetfeld für Kerne mit I = 1/2 und 1.



Mit den <u>Gleichungen (1-2)</u> und <u>(1-4)</u> erhält man die Komponenten des magnetischen Momentes in Feldrichtung z:

$$(1-5)^{\mu_z = m\gamma\hbar}$$

In der klassischen Betrachtungsweise präzedieren die Kerndipole um die z-Achse, die der Richtung des Magnetfeldes entspricht – sie benehmen sich wie Kreisel (Abb. 1-2). Die Präzessions- oder Larmor-Frequenz $\nu_{\rm L}$ ist hierbei der magnetischen Flussdichte B_0 proportional:

$$v_{L} = \left| \frac{\gamma}{2\pi} \right| B_{0}$$
(1-6)

Im Unterschied zum klassischen Kreisel sind aber für einen präzedierenden Kerndipol wegen der Richtungsquantelung